

1. まえがき

斜面安定解析でしばしば用いられる分割法の計算式は、通常、離散化表示されることが多いが、均一斜面の場合には積分表示が可能であり厳密解が得られる。本研究では、このことと簡便法(Fellenius法)、簡易 Bishop 法及び Spencer法について示すと共に、いくつかの計算例を示した。対象とする斜面はC-φ-γが一定である勾配βの斜面(図-1)であり、間げき水圧は間げき圧係数ru=U/(γh)を用いて表示する。このような研究を行なう理由は次のようである。1) 3次元斜面安定解析を行なう場合、2次元の厳密表示式が得られていると計算量を大幅に削減できる。2) 安定図表に依るかに、安全率や安定係数の算出ができる。3) 従来の離散化表示式にもとづく計算法に比べ、計算量が少ないため、多種多様なケースについて大量の計算が可能である。

2. 簡便法表示式の厳密解(斜面先破壊)

(i) C, φ, γ, β, Hが与えられたとき斜面の安全率Fと与える式 
$$\frac{\gamma HF}{C} = \left( m_{rc} + \frac{\gamma H \tan \phi}{C} m_{rf} \right) / m_d$$

(ii) φ, γ, β, Hが与えられたとき極限状態でのCと与える式 
$$\frac{\gamma H}{C} = \frac{m_{rc}}{m_d - \tan \phi m_{rf}}$$

ここで、 $m_{rc} = R_0^2 (\theta_{20} - \theta_{10})$ ,  $m_{rf} = \frac{R_0^3}{H} \left[ \cos \theta_{10} - \cos \theta_{20} + \frac{1}{3} (\cos^3 \theta_{20} - \cos^3 \theta_{10}) - \frac{1}{2} \sin \theta_{10} \{ \theta_{20} - \theta_{10} - \frac{1}{2} (\sin 2\theta_{20} - \sin 2\theta_{10}) \} + \frac{1}{3} \tan \beta (\sin^3 \theta_{20} - \sin^3 \theta_{10}) - \frac{1}{2} \frac{R_m}{R_0} \cos \theta_m \tan \beta \{ \theta_{20} - \theta_{10} - \frac{1}{2} (\sin 2\theta_{20} - \sin 2\theta_{10}) \} \right]$ ,  $m_d = \frac{R_0^3}{H} (f_{10} - f_{20} - f_{30})$

ただし、 $R_0 = H / (\sin \theta_{20} - \sin \theta_{10})$ ,  $R_m = \sqrt{(R_0 \sin \theta_{20} - H)^2 + (R_0 \cos \theta_{20} + H \cot \beta)^2}$ ,  $\theta_m = \sin^{-1} \left( \frac{R_0 \sin \theta_{10}}{R_m} \right)$ ,  $\theta_{10} = \cos^{-1} \left( \frac{R_m \cos \theta_m}{R_0} \right)$ ,  $f_{10} = (\sin \theta_{20} - \sin \theta_{10}) / 3$ ,  $f_{20} = l_0 (2 \cos \theta_{10} - l_0) \sin \theta_{10} / 6$ ,  $f_{30} = \{ \sin (\theta_{20} - \theta_{10}) - l_0 \sin \theta_{20} \} (\cos \theta_{10} + \cos \theta_{20} - l_0) / 6$ ,  $l_0 = \sin (\theta_{20} - \theta_{10}) / (\sin \theta_{20} - \sin (\theta_{20} + \beta)) (\sin \theta_{20} - \sin \theta_{10}) / (\sin \theta_{20} \sin \beta)$ .

θ<sub>10</sub>, θ<sub>20</sub> を種々変化させて、γHF/C もしくは γH/C の最小値を求めます。

3. 簡易 Bishop 法表示式の厳密解(斜面先破壊)

φ, γ, β, Hが与えられたとき極限状態でのCと与える式 
$$\frac{\gamma H}{C} = \frac{m_{rc}}{m_d - \tan \phi m_{rf}}$$

ここで、m<sub>d</sub>は簡便法の場合と同じ。  $m_{rc} = R_0^2 \left[ (\theta_{20} - \theta_{10}) \cos^2 \phi - \frac{1}{2} \sin 2\phi \cdot \ln \left\{ \frac{\sin (\theta_{20} + \phi)}{\sin (\theta_{10} + \phi)} \right\} \right]$ ,  $m_{rf} = \frac{R_0^3}{H} \left\{ [I_1]_{\theta_{10}}^{\theta_{20}} - \sin \theta_{10} [I]_{\theta_{10}}^{\theta_{20}} + \tan \beta [I_2]_{\theta_{10}}^{\theta_{20}} - \frac{R_m}{R_0} \cos \theta_m \tan \beta [I]_{\theta_{10}}^{\theta_{20}} \right\}$  であり、 $I = \theta \cos^2 \phi - \frac{1}{2} \sin 2\phi \ln \{ \sin (\theta + \phi) \}$ ,  $I_1 = \cos \phi \left[ -\cos (\theta - \phi) + \frac{1}{2} \sin^2 \phi \ln \left\{ \frac{1 - \cos (\theta + \phi)}{1 + \cos (\theta + \phi)} \right\} \right]$ ,  $I_2 = \cos \phi \left[ \sin (\theta - \phi) - \frac{1}{2} \sin \phi \cos \phi \ln \left\{ \frac{1 - \cos (\theta + \phi)}{1 + \cos (\theta + \phi)} \right\} \right]$ .

4. Spencer法表示式の厳密解(斜面先破壊)

φ, γ, β, Hが与えられたとき極限状態でのCと与える式

$$\frac{\gamma H}{C} = \frac{m_{rc0}}{m_{rf0}}, \quad \frac{\gamma H}{C} = \frac{m_{rc1}}{m_{d1} - \tan \phi m_{rf1}}$$

上式で、未知量はCとγである。この連立方程式よりCを求めます。

ここで、 $m_{rc0} = \frac{1}{2} R_0 \cos \phi \ln \left\{ \frac{1 - \cos (\theta_{20} + \phi + \delta)}{1 + \cos (\theta_{20} + \phi + \delta)} \cdot \frac{1 + \cos (\theta_{10} + \phi + \delta)}{1 - \cos (\theta_{10} + \phi + \delta)} \right\}$ ,  $m_{rf0} = \frac{R_0^2}{H} \left\{ [I1]_{\theta_{10}}^{\theta_{20}} - \sin \theta_{10} [I2]_{\theta_{10}}^{\theta_{20}} + \tan \beta [I3]_{\theta_{10}}^{\theta_{20}} - \frac{R_m}{R_0} \cos \theta_m \tan \beta [I2]_{\theta_{10}}^{\theta_{20}} \right\}$ ,  $m_{rc1} = R_0^2 \left[ (\theta_{20} - \theta_{10}) \cos^2 \phi - \frac{1}{2} \sin 2\phi \ln \left\{ \frac{\sin (\theta_{20} + \phi + \delta)}{\sin (\theta_{10} + \phi + \delta)} \right\} \right]$

$m_d$  は簡便法の場合の  $m_d$  と同じ。  $m_{rf1} = \frac{R_o^3}{H} \cos \phi \cos \delta \{ [I4]_{\theta_{10}}^{\theta_{20}} - \sin \theta_{10} [I6]_{\theta_{10}}^{\theta_{20}} + \tan \beta [I5]_{\theta_{10}}^{\theta_{20}} - \frac{R_m}{R_o} \cos \theta_m \tan \beta [I6]_{\theta_{10}}^{\theta_{20}} \}$ 。

ただし、 $I1 = \theta \{ \sin \delta \cos^2(\phi + \delta) - \frac{1}{2} \sin(2\phi + 3\delta) \} + \frac{1}{2} \sin(\theta + \phi + \delta) \sin(\theta - \phi - 2\delta) + \cos \delta \sin^2(\phi + \delta) \ln \{ \sin(\theta + \phi + \delta) \}$  ,  $I2 = -\frac{1}{2} \sin(\phi + \delta) \cos \delta \ln \left\{ \frac{1 - \cos(\theta + \phi + \delta)}{1 + \cos(\theta + \phi + \delta)} \right\} + \sin(\theta - \delta)$  ,  $I3 = \frac{1}{2} \theta \cos \delta \cos 2(\phi + \delta) + \frac{1}{2} \sin(\theta + \phi + \delta) \cos(\theta - \phi - 2\delta) - \frac{1}{2} \cos \delta \sin 2(\phi + \delta) \ln \{ \sin(\theta + \phi + \delta) \}$  ,  $I4 = \frac{1}{2} \sin^2(\phi + \delta) \ln \left\{ \frac{1 - \cos(\theta + \phi + \delta)}{1 + \cos(\theta + \phi + \delta)} \right\} - \cos(\phi + \delta - \theta)$  ,  $I5 = \sin(\theta - \phi - \delta) - \frac{1}{4} \sin 2(\phi + \delta) \ln \left\{ \frac{1 - \cos(\theta + \phi + \delta)}{1 + \cos(\theta + \phi + \delta)} \right\}$  ,  $I6 = \theta \cos(\phi + \delta) - \sin(\phi + \delta) \ln \{ \sin(\theta + \phi + \delta) \}$ 。

なお、Spencer 法表示式のうち第 2 式は、 $\delta = 0$  のとき簡易 Bishop 法表示式に帰着する。

簡易 Bishop 法、Spencer 法、いずれの場合も、 $\theta_{10}$ 、 $\theta_{20}$  を種々変化させて  $rH/c$  の最小値を求める。

### 5. 計算例(斜面先破壊)

以上では、簡げき水圧が無い場合の表示式を示したが、ここでは簡げき水圧を有するケースについても一部計算例を示す。図-2 に簡便法による計算結果を示す。この図は、有名な Taylor の安定図表とほぼ同じ値をとる。図中には簡げき水圧が存在する場合 ( $r_u = 0.5$ ) の計算例も示した。良く知られているように、簡便法による値は簡げき水圧の影響を大きく受ける。図-3 は簡便法の結果と簡易 Bishop 法の結果を比較したものである。 $\phi = 0^\circ$  のとき両者の値は同一となる。図より  $\beta$  が大きいときには簡易 Bishop 法による値の方が小さくなることわかる。これは、すべり面上の垂直応力の一部が負値になるためである。図-4 は簡便法の結果と Spencer 法の結果を比較したものである。図-3 及び図-4 より、Spencer 法による結果は、 $\beta$  が大きいときは簡便法と、 $\beta$  が小さいときは簡易 Bishop 法とほぼ一致することがわかる。なお、簡易 Bishop 法に簡げき水圧があるケースは発表当日報告する。

(文献)

- 1) 山口柏樹：土質力学，技報堂（全改訂版）。
- 2) 鶴飼，細堀，永瀬，櫻戸：C- $\phi$  斜面の 3 次元安定解析，第 21 回土質工学研究発表会，1986（予定）
- 3) 中瀬，中ノ堂，日下部：斜面および盛土のための安定図表，技報堂 1981。

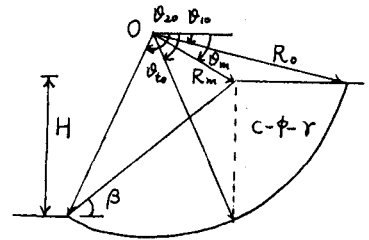


図-1 斜面の諸元

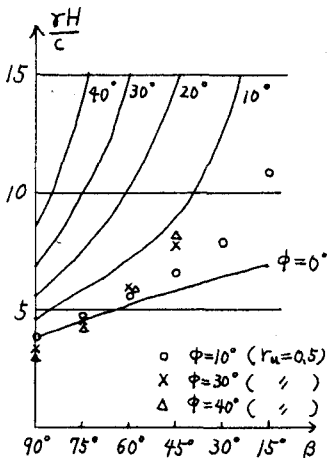


図-2 簡便法による安定図表

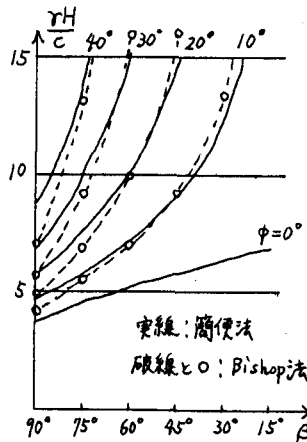


図-3 簡易 Bishop 法による安定図表

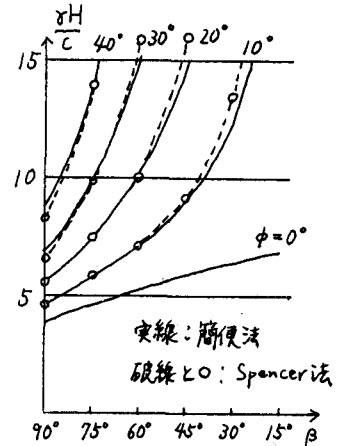


図-4 Spencer 法による安定図表